

лююва $V_i - V_{i*}$ пересчитывался по напряжению трения на поверхности горения τ_s по формуле: $V_i - V_{i*} = \sqrt{8\rho_\infty \tau_s / (\rho_k v_k)}$. Кривая 3 рассчитана по предлагаемой методике, 1 — без учета влияния реакции на турбулентный перенос и влияния пульсаций температуры на эффективную скорость реакции, 2, 4 — эксперимент [7, 8]. Сравнение кривых показывает, что модель эрозионного горения топлив, учитывающая взаимодействие турбулентности с реакцией, лучше описывает эксперимент.

лююва $V_i - V_{i*}$ пересчитывался по напряжению трения на поверхности горения τ_s по формуле: $V_i - V_{i*} = \sqrt{8\rho_\infty \tau_s / (\rho_k v_k)}$. Кривая 3 рассчитана по предлагаемой методике, 1 — без учета влияния реакции на турбулентный перенос и влияния пульсаций температуры на эффективную скорость реакции, 2, 4 — эксперимент [7, 8]. Сравнение кривых показывает, что модель эрозионного горения топлив, учитывающая взаимодействие турбулентности с реакцией, лучше описывает эксперимент.

Поступила в редакцию 22/VIII 1983

ЛИТЕРАТУРА

1. Я. Б. Зельдович, О. И. Лейпунский, В. В. Либрович. Теория нестационарного горения пороха. М.: Наука, 1975.
2. В. Н. Вилюнов. Докл. АН СССР, 1961, 136, 2, 381.
3. К.-Ю. Чжен. РТК, 1982, 20, 30.
4. Г. Н. Абрамович, С. Ю. Крашеников, А. Н. Секундов. Турбулентные течения при воздействии объемных сил и неавтомоделности. М.: Машиностроение, 1975.
5. Турбулентность, принципы и применение/Под ред. У. Фроста, Т. Моулдена. М.: Мир, 1980.
6. В. К. Булгаков, А. М. Липанов. ФГВ, 1983, 19, 3, 32.
7. В. Н. Вилюнов, А. А. Дворянин. ФГВ, 1971, 7, 1, 45.
8. В. П. Вилюнов, Ю. М. Нсаев, А. Т. Кузнецов. ФГВ, 1981, 17, 3, 133.

УСТОЙЧИВОСТЬ СТАЦИОНАРНЫХ РЕЖИМОВ ТЕПЛО- И МАССОПЕРЕНОСА И ГИСТЕРЕЗИСНЫЕ ЯВЛЕНИЯ В ХИМИЧЕСКИ АКТИВНЫХ СРЕДАХ

А. К. Колесников
(Пермь)

В настоящее время хорошо известны многочисленные примеры различного рода систем, которые при определенных условиях могут находиться в нескольких стационарных состояниях и переходить из одного состояния в другое гистерезисным образом. В связи с этим упомянем лишь явления воспламенения и потухания при гетерогенном катализе [1] и скачкообразные смены режимов движения при течении жидкостей с нелинейной зависимостью вязкости от температуры [2]. Традиционно в такого рода задачах критические условия перехода с одного равновесного режима на другой определяются из решения стационарной задачи. В данной работе показано, что использование этого метода оправдано только в тех случаях, когда возможно простое решение проблемы устойчивости получающихся режимов, например, с помощью диаграмм Семёнова [1]. При исследовании же систем, для которых качественный анализ устойчивости невозможен, определение критических условий гистерезисной смены стационарных режимов должно проводиться совместно с детальным решением соответствующей задачи устойчивости. Ниже такой подход к определению критических условий реализуется при исследовании смены стационарных режимов тепло- и массопереноса в плоском слое двухкомпонентной смеси, состоящей из реагента и пассивного продукта, в которой протекает гомогенная экзотермическая реакция первого порядка. Рассмотрены некоторые вопросы устойчивости тепло- и массопереноса в такой среде, представляющие самостоятельный интерес.

1. Пусть бесконечный слой имеет толщину d и заполнен смесью, состоящей из разлагающегося с тепловыделением реагента и химически инертного продукта. Оба компонента смеси находятся либо в газообразной, либо в жидкой фазе. Мономолекулярная химическая реакция происходит во всем объеме слоя и имеет первый порядок. В соответствии с законом Аррениуса скорость реакции экспоненциально возрастает с температурой. Начало координат выбрано на одной из границ слоя, ось z направлена внутрь слоя перпендикулярно границам. Будем характеризовать состояние смеси концентрацией продукта C и температурой Θ , отсчитываемой от некоторого постоянного значения T_0 .

Уравнения, описывающие процессы тепло- и массопереноса в бинарной смеси с реакцией первого порядка в предположении отсутствия конвекции, термодиффузии и диффузионной теплопроводности, в безразмерной форме имеют вид

$$\begin{aligned} \frac{\partial \Theta}{\partial t} &= \Delta \Theta + Fk(1 - C) \exp \Theta, \\ \text{Le} \frac{\partial C}{\partial t} &= \Delta C + \frac{Fk}{\mu} (1 - C) \exp \Theta. \end{aligned} \quad (1)$$

Здесь t — время; $Fk = QEd^2k_0 \exp(-E/RT_0)/\kappa RT_0^2$ — параметр Франк-Каменецкого; $\text{Le} = \chi/D$ — число Льюиса; $\mu = DQE/\kappa RT_0^2$ — безразмерный параметр; Q — тепловой эффект реакции; E — энергия активации; k_0 — предэкспоненциальный множитель; R — универсальная газовая постоянная; κ , χ и D — коэффициенты теплопроводности, температуропроводности и диффузии смеси. В качестве единиц измерения расстояния, времени и температуры выбраны соответственно величины d , d^2/χ , RT_0^2/E . При записи уравнений (1) использовано обычное представление экспоненциальных членов [1].

Существование стационарных режимов тепло- и массопереноса в покоящихся реагирующих средах с тепловыми и концентрационными источниками принципиально возможно только в случаях, когда хотя бы на малом участке границы зоны реакции осуществляется отвод тепла и продуктов реакции. Для простоты будем считать в дальнейшем, что на границах слоя поддерживаются постоянные одинаковые температуры и продукт отсутствует, т. е.

$$\text{при } z = 0; 1: \Theta = 0, C = 0. \quad (2)$$

В слое с однородными граничными условиями (2) все тепловые и диффузионные процессы в смеси обуславливаются работой внутренних источников. При $\mu = \infty$ уравнение для концентрации в системе (1) имеет тривиальное решение и задача сводится к уравнению теплопроводности в однородной среде, в которой протекает экзотермическая реакция нулевого порядка, идущая без концентрационных изменений. Решения этого уравнения хорошо известны в теории теплового взрыва [1, 3].

2. Рассмотрим стационарные решения задачи (1), (2), ограничившись наиболее типичным случаем, когда равновесные распределения температуры и концентрации зависят только от поперечной координаты z . Тогда соответствующие профили $\Theta_0(z)$ и $C_0(z)$ будут определяться из нелинейной краевой задачи следующего вида:

$$\Theta_0'' + Fk(1 - C_0) \exp \Theta_0 = 0, \quad C_0'' + \frac{Fk}{\mu} (1 - C_0) \exp \Theta_0 = 0, \quad (3)$$

$$\text{при } z = 0; 1: \Theta_0 = 0, C_0 = 0. \quad (4)$$

Решение задачи (3), (4), ранее численно полученное в [4], показывает, что при однородных граничных условиях температурные и концентрационные распределения подобны $\Theta_0 = \mu C_0$, и независимые от времени режимы тепло- и массопереноса существуют при любых значениях параметра Франк-Каменецкого. Ввиду симметрии граничных условий распределения $\Theta_0(z)$ и $C_0(z)$ достигают максимальных значений Θ_{0m} и C_{0m} в цент-

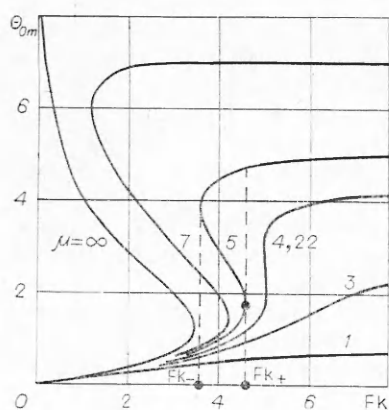


Рис. 1.

ре слоя, и структуру решений можно характеризовать зависимостями $\Theta_{3m}(Fk)$ и $C_{0m}(Fk)$. На рис. 1 показаны графики $\Theta_{0m}(Fk)$ для различных величин μ . При $\mu < 4,22$ задача (3), (4) имеет только одно решение. В случае $\mu > 4,22$ функция $\Theta_{0m}(Fk)$ становится неоднозначной, и для заданного μ можно указать интервал значений Fk , в котором уравнение имеет три решения. Первое решение с меньшей температурой Θ_{0m} в дальнейшем будем называть низкотемпературным, третье — высокотемпературным. Реализация того или иного режима тепло- и массопереноса зависит от его устойчивости и начального состояния реагента. При $Fk \rightarrow \infty$ кривые $\Theta_{0m}(Fk)$ выходят на асимптоты, связанные

с выгоранием химически активного компонента смеси в центре слоя. Если $\mu \rightarrow \infty$, соответствующие высокотемпературному режиму значения Θ_{0m} также стремятся к бесконечности, и третье решение теряет физический смысл, два других решения при этом трансформируются в известные из [1] решения задачи Франк-Каменецкого. В предельном случае реакции нулевого порядка ($\mu = \infty$) для $Fk < 3,514$ краевая задача (3), (4) дает два теплопроводных режима; при $Fk > 3,514$ в слое происходит тепловой взрыв.

Скачкообразный переход с низкотемпературного режима на высокотемпературный называется воспламенением, обратный переход — потуханием. Принято считать, что критическими условиями, при которых гистерезисным образом происходят эффекты воспламенения и потухания, являются соответственно значения параметра Fk_+ и Fk_- , отвечающие верхней и нижней границам области существования трех режимов (на рис. 1 эти значения отмечены для $\mu = 5$). Для справедливости такого рассуждения необходимо, однако, чтобы низко- и высокотемпературный режимы были устойчивы во всей области совместного существования.

3. Для исследования устойчивости описанных стационарных решений следует рассмотреть поведение вблизи них малых возмущений температуры и концентрации. Полученные из (1) линеаризованные уравнения для амплитуд $\theta(z)$ и $\eta(z)$ нормальных возмущений, зависящих от времени и координат по закону $\exp[-\lambda t + i(k_1 x + k_2 y)]$, имеют вид

$$\begin{aligned} -\lambda\theta &= (\theta'' - k^2\theta) + Fk[(1 - C_0)\theta - \eta] \exp \Theta_0, \\ -\lambda L\eta &= (\eta'' - k^2\eta) + Fk/\mu \cdot [(1 - C_0)\theta - \eta] \exp \Theta_0, \end{aligned} \quad (5)$$

где $\lambda = \lambda_r + i\lambda_i$ — комплексный декремент возмущений; k_1 и k_2 — волновые числа, определяющие периодизм возмущений по осям x и y ; $k^2 = k_1^2 + k_2^2$.

На границах слоя возмущения температуры и концентрации исчезают, т. е.

$$\text{при } z = 0; 1: \quad \theta = 0, \quad \eta = 0. \quad (6)$$

Определение собственных значений $\lambda(Fk, \mu, Le, k)$ задачи устойчивости (5), (6) позволяет построить спектры возмущений и найти значения параметров, соответствующие условию кризиса равновесия $\lambda_r = 0$. Устойчивым состоянием отвечают $\lambda_r > 0$, неустойчивым $\lambda_r < 0$.

Прежде чем перейти к обсуждению результатов решения сформулированной задачи, отметим, что в общем случае диаграммы типа диаграмм Семенова для качественного анализа устойчивости рассматриваемой системы неприменимы. Действительно, условием применимости таких диаграмм является возможность графического изображения стационарных состояний и малых отклонений от них на одной плоскости. Равно-

весные температура и концентрация в данной задаче подобны, и стационарные состояния легко представляются на двумерной диаграмме. Амплитуды же термоконцентрационных возмущений равновесия, как следует из краевой задачи (5), (6), при $\lambda \neq 0$ простым соотношением подобия не связаны, и проследить их эволюцию на плоскости невозможно.

По-видимому, такие же сложности качественного анализа устойчивости с применением диаграмм типа диаграмм Семенова должны возникать и при исследовании аналогичных систем, в которых стационарные состояния описываются двумя и более переменными.

Для численного определения собственных значений линейной краевой задачи (5), (6) применялся метод Рунге — Кутты — Мерсона [5] с пошаговым контролем точности вычислений. Этим методом строились два линейно-независимых частных решения, удовлетворяющих граничным условиям в начале интервала интегрирования. Из требования существования нетривиального решения задачи, для которого выполняются условия на противоположной границе слоя, вырабатывается характеристическое соотношение, определяющее значения λ . При построении спектров декрементов непрерывно проходилась весь ряд возможных стационарных состояний, соответствующий непрерывному росту разогрева в центре слоя.

В [6] по этой методике исследованы реакции нулевого ($\mu = \infty$) и первого порядка для газовых смесей, т. е. для $Le = 0,5 \div 2,0$.

Из результатов решения задачи (5), (6) следует, что при всех значениях параметров в бесконечном слое наиболее опасными (в смысле максимальности размеров зон неустойчивости) являются плоскопараллельные возмущения с $k = 0$. Для $Le \leq 1$ возмущения температуры и концентрации оказываются монотонными, при $Le > 1$ в системе появляются осцилляции.

Остановившись вначале на анализе устойчивости смеси в области значений μ , для которых стационарная задача дает одно решение. Расчеты показывают, что для $Le < 1,72$ режимы тепло- и массопереноса устойчивы при любых Fk и $\mu < 4,22$. При $Le > 1,72$ устойчивость системы нарушается, на плоскости (Fk, μ) возникает замкнутая зона, в которой развитие колебательных возмущений нарушает стационарный тепло- и массоперенос. Результаты, приведенные на рис. 2, свидетельствуют о том, что размеры этой зоны существенно увеличиваются с ростом числа Льюиса. Для $Le \sim 100$ (жидкие смеси) в указанной на рисунке области изменения параметров граница неустойчивости близка к приведенной для $Le = 10$. Как видно из графиков, при $Fk < 4,5$ режимы переноса устойчивы для любых Le и $\mu < 4,22$; при малых μ неустойчивость в смеси не возникает.

В случае $\mu > 4,22$ с появлением интервала значений Fk , в котором возможны три стационарных режима, вид спектров декрементов значительно усложняется [6]. Расчеты показывают, что второе стационарное решение всегда является полностью неустойчивым относительно возмущений с $k = 0$, а картина неустойчивости первого и третьего решений сильно зависит от Le . Результаты линейного анализа устойчивости удобно здесь представлять зависимостями $Fk_{кр}$ от числа Льюиса при $k = 0$, где $Fk_{кр}$ — критическое значение параметра Франк-Каменецкого, характеризующее границу устойчивости того или иного режима, при $Fk = Fk_{кр}$ $\lambda_r = 0$. На рис. 3 изображена такая диаграмма устойчивости для низкотемпературного (кривая 1) и высокотемпературного (кривая 2) решений при $\mu = 5$, область одновременного существования которых заключена между горизонтальными штриховыми линиями. Сплошными линиями показана граница колебательной неустойчивости решений; штриховка направлена в зоны неустойчивости. Колебательные возмущения ответственны за кризис рассматриваемых стационарных режимов вплоть до достижения соответствующих дискриминантных линий (штриховые кривые на рис. 3), на которых $\lambda_r = 0$, и в дальнейшем к неустойчивости приводят монотонные возмущения.

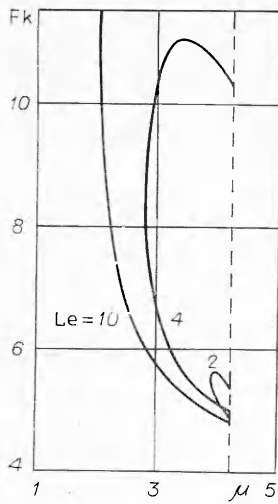


Рис. 2.

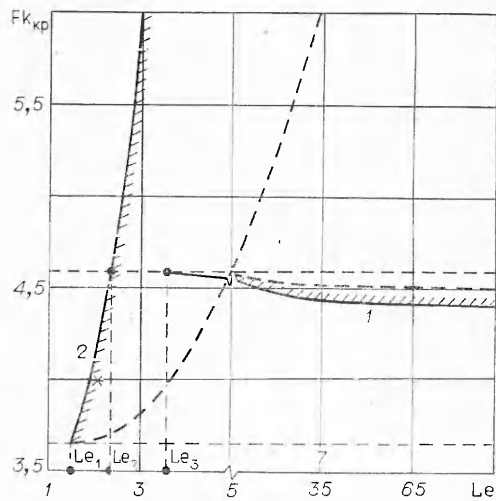


Рис. 3.

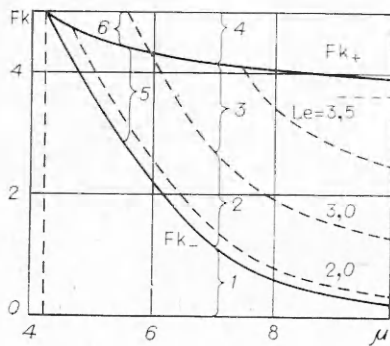


Рис. 4.

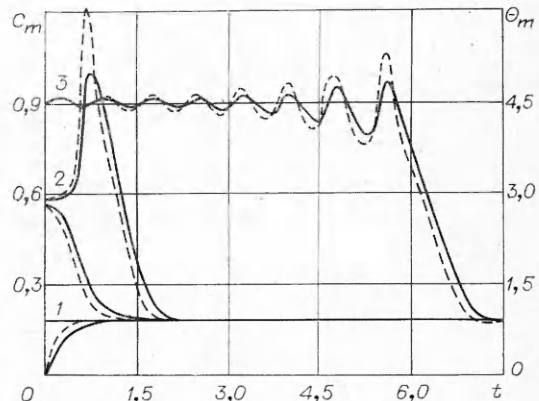


Рис. 5.

Рассмотрим изменение картины устойчивости низко- и высокотемпературного режимов с ростом значений числа Льюиса. Как видно из рис. 3, для $Le < Le_1 = 1,47$ оба стационарных режима устойчивы по отношению к малым термоконцентрационным возмущениям. При $Le > Le_1$ появляется быстрорасширяющаяся область значений Le , в которой наступает колебательная неустойчивость третьего решения, и единственным устойчивым состоянием системы оказывается низкотемпературный режим тепло- и массопереноса. При $Le = Le_2 = 2,36$ высокотемпературный режим становится неустойчивым во всей зоне совместного существования трех стационарных решений. Дальнейший рост числа Льюиса приводит к тому, что при $Le > Le_3 = 3,60$ возникает узкая область неустойчивости и для первого решения. Эта область зарождается при Fk , близких к верхней границе интервала существования низкотемпературного режима, и сохраняется для значений Le , соответствующих жидким смесям ($Le \sim 100$). При $Le > Le_3$, таким образом, в исследуемой системе появляется область значений параметров, в которой, согласно линейной теории устойчивости, стационарный тепло- и массоперенос в реагирующей смеси невозможен.

Диаграммы устойчивости $Fk_{кр}(Le)$, построенные для других $\mu > 4,22$, аналогичны диаграмме для $\mu = 5$. Оказывается, что неустойчивость высокотемпературного режима всегда наступает при меньших значениях Le , чем низкотемпературного, причем $Le_3(\mu) > Le_2(\mu)$, т. е. первое решение становится неустойчивым тогда, когда третье решение уже неустойчиво

во всей зоне их совместного существования. Заметим также, что граница неустойчивости исследуемых режимов всегда обуславливается колебательными возмущениями и в соответствии с этим при $Le \leq 1$ первое и третье решения устойчивы.

4. Рассмотрим теперь гистерезисные явления в смеси с учетом полученных результатов решения задачи устойчивости. Скачкообразные переходы между низко- и высокотемпературным режимами, соответствующие воспламенению и потуханию, согласно развиваемым представлениям, происходят в случае устойчивости режимов при достижении границ области совместного существования, в случае же неустойчивости одного из режимов при устойчивости другого — в интервале значений параметра Франк-Каменецкого между порогом неустойчивости режима и границей его существования.

Зависимость критических условий воспламенения и потухания от параметров задачи Le и μ показана на рис. 4. Сплошные линии построены по результатам решения стационарной задачи (3), (4). Кривая $Fk_+(\mu)$ определяет условия воспламенения, кривая $Fk_-(\mu)$ — потухания. При $\mu = 4,22$ зависимости $Fk_+(\mu)$ и $Fk_-(\mu)$ совпадают; при $\mu \rightarrow \infty$ эффект потухания исчезает, а Fk_+ асимптотически стремится к порогу теплового взрыва в среде с реакцией нулевого порядка (штриховая прямая на рис. 4). Из рисунка видно, что величина $\mu = 10$ в этом смысле является достаточно большой.

Проследим изменение условий воспламенения и потухания, используя диаграмму устойчивости, приведенную на рис. 3. Для смесей, у которых $Le < Le_1(\mu)$, нижнее и верхнее равновесные решения устойчивы и критические условия определяются зависимостями $Fk_+(\mu)$ и $Fk_-(\mu)$. При $Le_1(\mu) < Le < Le_2(\mu)$ часть высокотемпературного решения оказывается неустойчивой, что приводит к изменению условий потухания. В этом случае срыв системы с третьего решения на устойчивый низкотемпературный режим должен происходить при всех значениях параметра Франк-Каменецкого в интервале $Fk_-(\mu) \leq Fk < Fk_{кр}(Le, \mu)$. Предел воспламенения для таких значений Le ввиду того, что при $Fk = Fk_+(\mu)$ оба режима устойчивы, совпадает с найденным из стационарной задачи. При $Le \rightarrow Le_2(\mu)$ значения $Fk_{кр}(Le, \mu)$ и $Fk_+(\mu)$ сближаются, и для $Le = Le_2(\mu)$, когда третий режим становится неустойчивым во всей гистерезисной области, верхняя граница зоны потухания и предел воспламенения совпадают. В смесях с $Le > Le_2(\mu)$ гистерезисные явления вообще исчезают; этот вывод остается справедливым и при появлении неустойчивости низкотемпературного решения для $Le > Le_3(\mu)$.

В качестве примера на рис. 4 для $Le = 3,0$ отмечены характерные области различного поведения исследуемой системы. В области 1 система находится в единственном устойчивом низкотемпературном состоянии; область 2 определяет интервал значений параметра Fk , в котором вследствие неустойчивости высокотемпературного режима в смеси происходит потухание; в области 3 существуют и нижний, и верхний устойчивые режимы тепло- и массопереноса, верхняя граница этой зоны определяет условия воспламенения; в области 4 имеет место единственный устойчивый высокотемпературный режим; в области 5 стационарная задача формально дает три решения, однако устойчиво лишь нижнее, и гистерезисные явления при таких значениях параметров в смеси отсутствуют (в этом отличие областей 5 и 2); наконец, область 6 соответствует ситуации, когда единственный в системе высокотемпературный режим оказывается неустойчивым. При $Le > Le_3(\mu)$ у верхней границы областей типа 5 появляется узкий интервал, где все режимы неустойчивы.

Результаты проведенного анализа показывают, что зона существования гистерезисных явлений с увеличением числа Льюиса резко смещается в область больших значений μ и в жидких смесях, в которых протекает реакция ненулевого порядка, эффекты воспламенения и потухания, по-видимому, невозможны. В предельном случае $\mu \rightarrow \infty$ имеют место устойчивое первое и неустойчивое второе решения. Этот результат пол-

ностью соответствует известным данным теории теплового взрыва, использующей модель реакции нулевого порядка. Выводы об устойчивости третьего режима переноса ввиду того, что при $\mu \rightarrow \infty$ ему отвечают физически переальные температуры, в рассматриваемом предельном случае носят формальный характер.

В заключение отметим, что вопрос о поведении системы при потере устойчивости того или иного стационарного режима не является очевидным, и для строгого подтверждения сделанных выводов об изменении условий перехода с одного режима на другой в зависимости от их устойчивости необходимо провести решение полных нестационарных уравнений (1) в гистерезисной области.

Вследствие плоскостности наиболее опасных возмущений при решении уравнений (1) можно ограничиться исследованием эволюции состояний смеси, в которых температура и концентрация зависят только от поперечной координаты z , воспользовавшись методом одномерных конечных разностей. Полученные таким путем результаты находятся в полном соответствии с данными линейной теории устойчивости. Приведем здесь лишь наиболее интересный для анализа гистерезисных явлений пример поведения системы, когда в области существования трех решений низкотемпературный режим устойчив, а высокотемпературный частично неустойчив. На рис. 5 показаны зависимости максимальной концентрации C_m (сплошные линии) и температуры Θ_m (пунктирные линии) в центре слоя от времени при $Fk = 4$, $\mu = 5$, $Le = 2$ (это состояние отмечено звездочкой на рис. 3) и различных начальных условиях. Цифрами 1—3 обозначены начальные условия, соответствующие трем стационарным решениям. Из представленных графиков следует, что в рассматриваемой ситуации при любых исходных распределениях температуры и концентрации в смеси устанавливается низкотемпературный стационарный режим. Особенно важно показанное на рисунке поведение системы, находящейся в третьем стационарном состоянии при параметрах, практически совпадающих с границей его неустойчивости или верхней границей зоны потухания. В этом случае малые возмущения нарастают, и после колебательного переходного процесса система оказывается в низкотемпературном стационарном состоянии, т. е. происходит эффект потухания.

Полученные в работе результаты показывают, что гистерезисные явления в системах с несколькими стационарными состояниями следует рассматривать параллельно с анализом устойчивости этих состояний. Проведенное исследование свидетельствует о сильной зависимости устойчивости различных режимов тепло- и массопереноса и условий их гистерезисной смены от физических свойств реагирующей смеси.

*Поступила в редакцию 27/V 1983,
после доработки — 26/VIII 1983*

ЛИТЕРАТУРА

1. Д. А. Франк-Каменецкий. Диффузия и теплопередача в химической кинетике. М.: Наука, 1967.
2. А. Г. Мержанов, А. М. Столин. ПМТФ, 1974, 1, 65.
3. Я. Б. Зельдович, Г. И. Баренблатт, В. Б. Либрович и др. Математическая теория горения и взрыва. М.: Наука, 1980.
4. А. К. Колесников.— В кн.: Гидродинамика. Вып. 8. Пермь, 1976.
5. Дж. Ланс. Численные методы для быстродействующих вычислительных машин. М.: ИЛ, 1962.
6. А. К. Колесников.— В кн.: Гидродинамика. Вып. 10. Пермь, 1977.